

УДК 535.42 : 534.8

С. Н. Шарангович  
 (Томск)

ДИФРАКЦИЯ СВЕТОВЫХ ПУЧКОВ НА УЛЬТРАЗВУКЕ  
 В ГИРОТРОПНЫХ КУБИЧЕСКИХ КРИСТАЛЛАХ

Исследована брэгговская дифракция световых пучков на ультразвуке в гиротропных кубических кристаллах при сильном акустооптическом взаимодействии. Сформулированы векторно-матричные уравнения связанных волн в частных производных относительно пространственных распределений световых пучков. Получены их аналитические решения на выходе и в дальней зоне области взаимодействия. Изучено преобразование амплитудных и поляризационных распределений по апертурам световых пучков в ближней зоне при больших эффективностях дифракции.

**Введение.** Широкое практическое использование акустооптического взаимодействия (АОВ) световых и акустических волн в кристаллах в устройствах оптической обработки информации и физических исследованиях обуславливает необходимость построения математических моделей АОВ с учетом реальной пространственно-временной и поляризационной структуры взаимодействующих полей, а также анизотропных и гиротропных свойств кристаллов. Для гиротропных кубических кристаллов к настоящему времени разработаны достаточно полные теоретические модели дифракции света на ультразвуке в случае слабого АОВ [1, 3—5]. В условиях больших эффективностей дифракции исследования АОВ световых пучков выполнены в [2] для специальных геометрий дифракции, связанных с экстремальными значениями эффективных фотоупругих постоянных, а в [6, 7] — в плоскостоволновом приближении для световых волн.

В данной работе построена теоретическая модель брэгговской дифракции световых пучков в гиротропных кубических кристаллах, основанная на аналитических решениях векторно-матричных уравнений связанных волн в частных производных и позволяющая определить пространственные распределения световых полей и их поляризационных параметров на выходе и в дальней зоне области взаимодействия для произвольных геометрий, режимов и эффективностей дифракции.

**Общие уравнения.** Рассмотрим брэгговское АОВ световых пучков  $E_0$ ,  $E_1$  в прозрачном, гиротропном кубическом кристалле. Геометрия АОВ показана на рис. 1. Область АОВ будем считать ограниченной плоскостями  $\Gamma = 0$  и  $\Gamma = L$ , аппроксимируемыми границы монохроматического, слаборасходящегося звукового пучка  $U(r, t)$ . В отношении акустических свойств кубические кристаллы являются анизотроп-

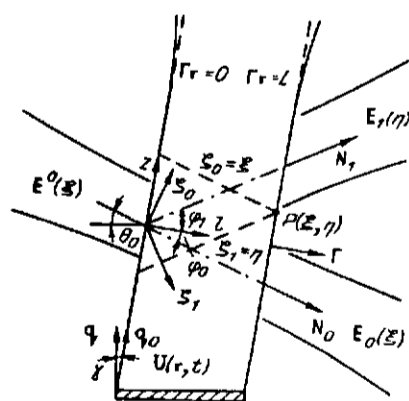


Рис. 1. Геометрия дифракции и координатные системы

ными. Поэтому в общем случае волновая нормаль  $q$  пучка  $U$  в плоскости АОВ может составлять угол  $\gamma$  с групповой нормалью  $q_g$ , причем  $\Gamma q_g = 0$ .

Возмущение диэлектрической проницаемости кристалла  $\epsilon$  в поле  $U(r, t)$  на величину  $\Delta\epsilon_a$  будем считать малым по отношению к  $\epsilon_0$  и представим в линейном приближении:

$$\hat{\epsilon}(r, t) = \hat{\epsilon}_0 + \Delta\hat{\epsilon}_a = \hat{\epsilon}_0 + \frac{1}{2} [\Delta\hat{\epsilon}U_m(r)\exp[i(\omega_0 t - K_0 r)] + \text{к.с.}] \quad (1)$$

Здесь  $\hat{\epsilon}_0 = n^2 \hat{I}$ ;  $n$  — показатель преломления,  $\hat{I}$  — единичный тензор второго ранга;  $K_0 = q\Omega_0/v$ ;  $\Omega_0, v, U_m(r)$  — центральная частота, скорость и распределение амплитуды  $U(r, t)$ ;  $\Delta\hat{\epsilon}$  — величина возмущения  $\hat{\epsilon}_0$  в поле  $U$  единичной амплитуды.

Дифракционное поле  $E$  в области АОВ должно удовлетворять волновому уравнению гиротропного кубического кристалла [8]

$$\text{rotrot}E = -c^{-2} \frac{\partial^2}{\partial t^2} \{ \hat{\epsilon}E + 2\alpha \text{rot}E + \alpha^2 \text{rotrot}E \}, \quad (2)$$

где величина  $\alpha$  связана с параметром гирации  $\gamma_0 = \alpha k_0, k_0 = \omega_0/c$ .

Решение уравнения (2) будем искать в виде суммы локально-плоских пучков нулевого  $E_0$  и первого  $E_1$  дифракционных порядков

$$E(r, t) = \sum_{j=0}^1 E_j = \frac{1}{2} \left\{ \sum_{j=0}^1 \sum_{k=\pm} e_k^j E_j^k(r) \exp[i(\omega_j t - k_j^k r)] + \text{к.с.} \right\} \quad (3)$$

с медленно меняющимися в области АОВ пространственными распределениями амплитуд  $E_j^{\pm}(r)$ , волновыми векторами  $k_j^{\pm} = N_j k_0(n \pm \gamma_0)$ , частотами  $\omega_1 = \omega_0 + \Omega_0$ . Каждый из пучков в (3) представлен разложением по собственным циркулярно-поляризованным волнам гиротропной среды с амплитудными профилями  $E_j^{\pm}(r)$ , циркулярными векторами поляризации

$$e_+^j = (e_1^j + ie_2^j)/\sqrt{2}, \quad e_-^j = (e_1^j - ie_2^j)/\sqrt{2} \quad (4)$$

в соответствующих ортонормированных, круговых базисах  $(e_+^j, e_-^j, N_j)$ , образованных волновыми нормальными  $N_j$  и векторами  $e_+^j, e_-^j$ . Единичные векторы  $e_1^j, e_2^j$  в (4), лежащие в плоскостях поляризации пучков  $E_j, N_j r = \text{const}$ , совместим по направлению с собственными векторами планальных тензоров  $(i, j = 0, 1)$  [1—4]:

$$\Delta\hat{\epsilon}_j = (\hat{I} - N_j N_j) \Delta\hat{\epsilon} (\hat{I} - N_j N_j) \Delta\hat{\epsilon} (\hat{I} - N_j N_j) \quad (j \neq i), \quad (5)$$

т. е. с осями возмущенного поля  $U$  тензора диэлектрической проницаемости  $\epsilon$  кубического кристалла в сечениях  $N_j r = \text{const}$ .

Тогда, подставляя (1), (3) в (2), учитывая, что [1, 2]

$$(e_{\pm}^1 \Delta\hat{\epsilon} e_{\pm}^0) = (\lambda_1 + \lambda_2)/2, \quad (e_{\pm}^0 \Delta\hat{\epsilon} e_{\pm}^1) = (\lambda_1 - \lambda_2)/2$$

( $\lambda_k$  связаны с собственными числами тензоров  $\Delta\hat{\epsilon}_j$ :  $i\lambda_{k,i} = (e_k^i \Delta\hat{\epsilon}_j e_k^i)^{0,5}$  ( $k = 1, 2$ )), и ограничиваясь членами первого порядка малости по  $\alpha$ , получим систему уравнений, связывающую в области АОВ амплитудные профили световых полей  $E_0^{\pm}(r)$  и  $E_1^{\pm}(r)$ :

$$\begin{aligned} v_0 \frac{\partial}{\partial l} E_0^+ + \eta_0 \frac{\partial}{\partial z} E_0^+ &= -iU_m^*(l, z) \{ C_n^+ E_1^+ + C_a^+ E_1^- \exp[i\varphi l] \} \exp[i\Delta K l], \\ v_0 \frac{\partial}{\partial l} E_0^- + \eta_0 \frac{\partial}{\partial z} E_0^- &= -iU_m^*(l, z) \{ C_n^- E_1^- + C_a^- E_1^+ \exp[-i\varphi l] \} \exp[i\Delta K l], \end{aligned} \quad (6)$$

$$\nu_1 \frac{\partial}{\partial l} E_1^+ + \eta_1 \frac{\partial}{\partial z} E_1^+ = -iU_m(l, z) \{C_n^+ E_0^+ + C_a^+ E_0^- \exp[i\varphi l]\} \exp[-i\Delta K l],$$

$$\nu_1 \frac{\partial}{\partial l} E_1^- + \eta_1 \frac{\partial}{\partial z} E_1^- = -iU_m(l, z) \{C_n^- E_0^- + C_a^- E_0^+ \exp[-i\varphi l]\} \exp[-i\Delta K l],$$

где  $l, z$  — координаты вдоль составляющих  $\Gamma = l\Gamma + zq_z$  в плоскости дифракции;  $\nu_j = \cos\varphi_j$ ,  $\eta_j = (-1)^j \sin\varphi_j$ ;  $\varphi_j = \theta_0 + (-1)^j \gamma$  — углы между нормальными  $N_j$  и  $\Gamma$  (см. рис. 1);  $\theta_0$  — угол падения, отсчитываемый между фронтом пучка  $U$  и волновой нормалью  $N_0$  падающего светового пучка  $E^0$ ;

$$C_n^\pm = \frac{k_0}{8} \left( \frac{\lambda_1 + \lambda_2}{n \pm 2\gamma_0} \right), \quad C_a^\pm = \frac{k_0}{8} \left( \frac{\lambda_1 - \lambda_2}{n \pm 2\gamma_0} \right) \quad (7)$$

— коэффициенты АО-связи, соответственно характеризующие нормальный и аномальный дифракционные процессы [1—4];  $\rho = 2k_0\gamma_0/\cos\varphi_0$  — фазовая расстройка, обусловленная циркулярным двупреломлением;  $k_0 = 2\pi/\lambda_0$  — волновое число света в вакууме;  $\Delta K$  — фазовая расстройка, вызванная отклонением  $\Delta\theta$  угла падения  $\theta_0$  от угла Брэгга  $\theta_B \approx \frac{\lambda_0 f_0}{2vn}$  и частоты ультразвука  $f$  от  $f_0$ :

$$\Delta K = \frac{k_0 n \sin 2\theta_B}{\cos(\theta_B - \gamma)} \Delta\theta + \frac{2\pi \sin \theta_B}{v \cos(\theta_B - \gamma)} \Delta f.$$

Полученную систему уравнений (6) дополним граничными условиями для взаимодействующих световых полей:

$$E_0^\pm(l=0, z) = E_\pm(z), \quad E_1^\pm(l=0, z) = 0, \quad (8)$$

где  $E_\pm(z) = (e_0 e_\pm^0) E^0(z)$  — циркулярные составляющие падающего пучка  $E^0$  с пространственным распределением амплитуды  $E^0(z)$  на входной границе области АОВ ( $\Gamma = 0$ ) и произвольным состоянием поляризации, заданным комплексным вектором  $e_0$ .

**Аналитические решения.** Для нахождения общего решения системы (6) допустим, что пучок  $U$  имеет однородное распределение  $U(l, z) = U_0$  при  $0 < l < L$ , где  $U_0$  — амплитуда, и воспользуемся векторно-матричными методами [9].

Для этого определим векторные функции  $A_1(l, z)$  и  $A_0(l, z)$ , компоненты которых связаны с амплитудными распределениями циркулярных составляющих  $E_j^\pm(l, z)$ , в виде

$$A_j = \begin{bmatrix} A_j^- \\ A_j^+ \end{bmatrix} = \begin{bmatrix} E_j^- \exp[+i\varphi l/2] \\ E_j^+ \exp[-i\varphi l/2] \end{bmatrix} \exp \left[ i \frac{\Delta K(z - \eta_j l/\nu_j)}{\eta_0/\nu_0 - \eta_1/\nu_1} \right] \quad (9)$$

и перейдем в апертурную координатную систему  $(\zeta_0, \zeta_1)$ :

$$\zeta_0 = -\eta_0 l + \nu_0 z, \quad \zeta_1 = \eta_1 l - \nu_1 z, \quad (10)$$

координаты  $\zeta_j$ , которой отсчитываются вдоль осей, перпендикулярных нормальным  $N_j$  пучков  $E_j$  (см. рис. 1).

Тогда систему (6) можно привести к двум связанным векторно-матричным уравнениям, записанным в канонической форме:

$$\frac{\partial A_0(\zeta_0, \zeta_1)}{\partial \zeta_1} = \hat{C} A_1(\zeta_0, \zeta_1) + \hat{P}_0 A_0(\zeta_0, \zeta_1), \quad (11)$$

$$\frac{\partial A_1(\xi_0, \xi_1)}{\partial \xi_0} = \hat{C}A_0(\xi_0, \xi_1) + \hat{P}_1A_1(\xi_0, \xi_1).$$

Здесь матрицы  $\hat{C}$ ,  $\hat{P}_j$  с учетом (7) и  $n \gg \gamma_0$  имеют вид

$$\hat{C} = -\frac{iU_0}{\sin(\varphi_0 + \varphi_1)} \begin{bmatrix} C_n & C_a \\ C_a & C_n \end{bmatrix}, \quad \hat{P}_j = \frac{ip}{2\sin(\varphi_0 + \varphi_1)} \begin{bmatrix} \nu_j & 0 \\ 0 & -\nu_j \end{bmatrix}, \quad (12)$$

где  $C_n = k_0(\lambda_1 + \lambda_2)/8n \approx C_n^*$ ,  $C_a = k_0(\lambda_1 - \lambda_2)/8n \approx C_a^*$ .

Соответственно граничные условия для решения системы (11) с учетом (9), (10) задаются в координатах  $\xi_0, \xi_1$  на кривой  $C$  ( $\xi_0 = -\frac{\nu_0}{\nu_1}\xi_1$ ) в следующем виде:

$$A_1|_c = 0, \quad \frac{\partial A_1}{\partial \xi_0}|_c = \hat{C}E\left(\frac{\xi_0}{\nu_0}\right) \exp\left[i\frac{\Delta K \xi_0 \nu_1}{\eta_0 \nu_1 - \eta_1 \nu_0}\right] \quad (13a)$$

и

$$A_0|_c = E\left(\frac{\xi_0}{\nu_0}\right) \exp\left[i\frac{\Delta K \xi_0 \nu_1}{\eta_0 \nu_1 - \eta_1 \nu_0}\right], \quad \frac{\partial A_0}{\partial \xi_1}|_c = \hat{P}_0E\left(\frac{\xi_0}{\nu_0}\right) \exp\left[i\frac{\Delta K \xi_0 \nu_1}{\eta_0 \nu_1 - \eta_1 \nu_0}\right], \quad (13b)$$

где  $E\left(\frac{\xi_0}{\nu_0}\right) = \left[E_-\left(\frac{\xi_0}{\nu_0}\right), E_+\left(\frac{\xi_0}{\nu_0}\right)\right]^T$  — вектор-столбец граничных условий (8).

Далее, разрешая систему (11) относительно  $A_1$ :

$$\frac{\partial^2 A_1}{\partial \xi_0 \partial \xi_1} + \hat{M} \frac{\partial A_1}{\partial \xi_0} + \hat{K} \frac{\partial A_1}{\partial \xi_1} + \hat{N}A_1 = 0, \quad (14)$$

где

$$\hat{N} = -\hat{C}(\hat{C} - \hat{P}_0\hat{C}^{-1}\hat{P}_1), \quad \hat{M} = -\hat{C}\hat{P}_0\hat{C}^{-1}, \quad \hat{K} = -\hat{P}_1, \quad (15)$$

и применяя к полученному уравнению матричные методы интегрирования [9], найдем амплитудно-фазовое распределение дифрагированного векторного поля  $E_1$  на выходной границе области АОВ ( $\Gamma r = L$ ), которая в апертурной системе координат  $(\xi_0, \xi_1)$  согласно (10) задается уравнением  $\xi = 2\delta - \frac{\nu_1}{\nu_0}\eta$ , где  $(\xi, \eta)$  — координаты точки  $P$ , через которую проходят характеристики уравнений (14)  $\xi_1 = \eta$ ,  $\xi_0 = \xi$  (см. рис. 1). В результате с учетом (9) и граничных условий (13a) решение векторно-матричного уравнения (14) записывается в виде

$$E_1(\eta) = \delta \hat{B} \int_{-1}^{+1} \exp\left[-i\frac{\Delta KL}{2}(1-y)\right] \exp\left[-\hat{M}\delta\frac{\nu_1}{\nu_0}(1-y) - \hat{K}\delta(1+y)\right] \times \\ \times J_0\left[2\delta\sqrt{(\hat{N} - \hat{M}\hat{K})(1-y^2)}\right] \hat{C}E\left(\frac{\delta(1-y)}{\nu_0} - \frac{\eta}{\nu_1}\right) dy. \quad (16)$$

Здесь и далее под функциями от матриц будем понимать функции, определенные на спектрах входящих в них матриц [9];  $\delta = \frac{L\sin(\varphi_0 + \varphi_1)}{2\cos\varphi_1}$ ;

$\hat{B} = \left[\exp\left[-\frac{i\varphi L}{2}\right], \exp\left[+\frac{i\varphi L}{2}\right]\right]^T$ ;  $J_0(x)$  — функция Бесселя нулевого порядка.

Аналогично находится решение системы (11), удовлетворяющее граничным условиям (13b) и определяющее пространственное распределение светового поля  $E_0$  в нулевом дифракционном порядке на выходе области АОВ:

$$E_0(\xi) = \hat{B} \exp\left[-2\delta\frac{\nu_1}{\nu_0}\hat{K}\right] E\left(\frac{\xi}{\nu_0}\right) - \delta\sqrt{\nu_1/\nu_0} \hat{B} \int_{-1}^{+1} \sqrt{(1+y)/(1-y)} \times$$

$$\begin{aligned} & \times \exp \left[ i \frac{\Delta KL}{2} (1-y) \right] \exp \left[ -\hat{K} \delta \frac{v_1}{v_0} (1+y) - \hat{M} \delta (1-y) \right] \sqrt{\hat{N} - \hat{K} \hat{M}} \times \\ & \times J_1 \left[ 2\delta \sqrt{(\hat{N} - \hat{K} \hat{M})(1-y^2)} \right] E \left( \frac{\xi}{v_0} - \frac{\delta(1-y)}{v_0} \right) dy, \end{aligned} \quad (17)$$

где  $\hat{N} = -\hat{C}(\hat{C} - \hat{P}_1 \hat{C}^{-1} \hat{P}_0)$ ;  $\hat{M} = -\hat{C} \hat{P}_1 \hat{C}^{-1}$ ;  $\hat{K} = -\hat{P}_0$ ;  $J_1[x]$  — функция Бесселя первого порядка.

Полученные решения (16), (17) полностью определяют пространственные распределения векторных амплитуд и состояние поляризации световых пучков  $E_0(\xi)$ ,  $E_1(\eta)$  на выходной границе и в ближней зоне области АОВ при произвольных эффективностях, геометриях дифракции с учетом фазовых расстройек, обусловленных гиротропией кристалла, анизотропией его упругих свойств, а также одновременного протекания при  $C_n, C_a \neq 0$  связанных между собой двух нормальных и двух аномальных дифракционных процессов.

Для проведения практических расчетов и анализа решений (16), (17) необходимо вычислить входящие в них функции от матриц в явном виде. Для этого воспользуемся теоремой Гамильтона — Кэли и разложением Лагранжа — Сильвестра [9]. Опуская громоздкие преобразования, запишем окончательный результат:

$$\begin{aligned} E_1(\eta) &= -i \hat{A}_1 \hat{B} \int_{-1}^{+1} \exp \left[ -i \frac{\Delta KL}{2} (1-y) \right] \hat{R}_1(y) E \left( \frac{\delta(1-y)}{v_0} - \frac{\eta}{v_1} \right) dy, \\ E_0(\xi) &= \hat{A}_0 E \left( \frac{\xi}{v_0} \right) - \hat{A}_0 \hat{B} \int_{-1}^{+1} \sqrt{(1+y)/(1-y)} \times \\ & \times \exp \left[ i \frac{\Delta KL}{2} (1-y) \right] \hat{R}_0(y) E \left( \frac{\xi}{v_0} - \frac{\delta(1-y)}{v_0} \right) dy. \end{aligned} \quad (18)$$

Здесь с учетом результатов [1, 2] введены обозначения:

$$\begin{aligned} \hat{R}_j(y) &= \frac{1}{2} \begin{bmatrix} b_n R_2 + b_a R_3 & b_n R_2 + b_a R_3 \\ b_n R_3^* + b_a R_2^* & b_n R_3^* + b_a R_2^* \end{bmatrix}, \quad j = 0, 1; \\ R_2 &= a_1 b_j^+ - a_2 b_j^-, \quad R_3 = a_1 b_j^- - a_2 b_j^+, \quad j = 0, 1; \\ b_j^\pm &= \frac{1}{2} \{ J_{1-j}[(b_n + b_a) \sqrt{1-y^2}] \pm J_{1-j}[(b_n - b_a) \sqrt{1-y^2}] \}; \end{aligned} \quad (19)$$

$$\begin{aligned} a_1 &= \cos \left[ \frac{\rho L}{2} \left( \frac{b}{b_n^2 - b_a^2} \right) \right] + i \frac{b_n^2 - y b_a^2}{b} \sin \left[ \frac{\rho L}{2} \left( \frac{b}{b_n^2 - b_a^2} \right) \right]; \\ a_2 &= i \frac{b_n b_a}{b} (1-y) \sin \left[ \frac{\rho L}{2} \left( \frac{b}{b_n^2 - b_a^2} \right) \right]; \quad b = [(b_n^2 - y b_a^2)^2 - b_n^2 b_a^2 (1-y)^2]^{0.5}; \\ b_{n,a} &= \frac{U_0 L C_{n,a}}{(\cos \varphi_1 \cdot \cos \varphi_0)^{0.5}} = \frac{\pi}{\lambda_0} \left[ \frac{M_{2n,a} P_a L}{2H} \right]^{0.5}; \end{aligned}$$

$M_{2n}, M_{2a}$  — коэффициенты акустооптического качества нормального и аномального дифракционных процессов [1];  $P_a$  — акустическая мощность;  $H$  — высота акустического пучка  $U$ ;

$$\hat{A}_j = \begin{bmatrix} \exp[ik_0 \gamma_0 L / \cos \varphi_j] & 0 \\ 0 & \exp[-ik_0 \gamma_0 L / \cos \varphi_j] \end{bmatrix} \exp[-ik_0 n L / \cos \varphi_j]$$

— круговые матрицы, описывающие вращение плоскости поляризации световых волн  $E_j$  в невозмущенном гиротропном кристалле [2] толщиной  $L$ .

Распределение дифракционных полей  $E_0, E_1$  в дальней зоне, как известно, совпадает со структурой их угловых спектров. Поэтому, применяя к (18) обратное преобразование Фурье по апертурным координатам, получим выражения, связывающие угловые спектры в первом  $E_1(\theta)$  и нулевом  $E_0(\theta)$  дифракционных порядках на выходе области АОВ с угловым спектром  $E(\theta)$  падающего светового пучка:

$$E_1(\theta) = \hat{A}_1 \hat{T}_1(L, \theta) E(\theta), \quad E_0(\theta) = \hat{A}_0 \hat{T}_0(L, \theta) E(\theta), \quad (20)$$

где

$$E(\theta) = \int_{-\infty}^{+\infty} E(\xi) \exp[ik_0 n \xi \theta] d\xi;$$

$\theta$  — угол наклона плосковолновых составляющих спектров  $E_j(\theta)$  относительно нормалей  $N_j$  в плоскости дифракции;  $\hat{T}_j(\theta)$  — матричные передаточные функции возмущенного пучком  $U$  слоя гиротропного кристалла, описывающие АОВ:

$$\hat{T}_1(L, \theta) = -i \hat{B} \int_{-1}^{+1} \exp \left[ -i \left( \frac{\Delta K L}{2} + k_0 n \delta \theta \right) (1 - y) \right] \hat{R}_1(y) dy, \quad (21)$$

$$\hat{T}_0(L, \theta) = \hat{I} - \hat{B} \int_{-1}^{+1} \sqrt{(1+y)/(1-y)} \exp \left[ i \left( \frac{\Delta K L}{2} + k_0 n \delta \frac{y_1}{v_0} \theta \right) (1 - y) \right] \hat{R}_0(y) dy,$$

где функции  $\hat{R}_j(y)$  определены соотношениями (19).

Полученные аналитические решения (18), (20) имеют сложный вид. В ряде частных случаев, например при нормальном или аномальном АОВ с экстремальной АО-связью, формулы (18), (21) существенно упрощаются и переходят в известные [4]. В общем случае анализ преобразования параметров световых пучков при АОВ в гиротропной среде может быть проведен путем численного моделирования по формулам (18), (20).

Численный расчет. На основе полученных решений (18) были исследованы зависимости интегральной дифракционной эффективности

$$\eta_d = \int_{-\infty}^{+\infty} E_1^*(\eta) E_1(\eta) d\eta / \int_{-\infty}^{+\infty} E^*(\xi) E(\xi) d\xi$$

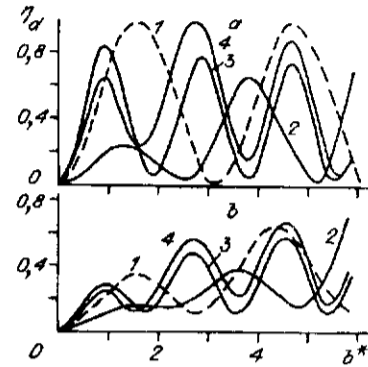
(здесь знаком «\*» помечены эрмитово-сопряженные величины) и поляризационных параметров (азимут  $\kappa_1$  и эллиптичность  $\rho_1$ ) пучка  $E_1$  для нормального ( $M_n \neq 0, M_a = 0$ ), аномального ( $M_n = 0, M_a \neq 0$ ) и смешанного ( $M_n, M_a \neq 0$ ) режимов АОВ от АО-связи, геометрических параметров световых и акустической волн, величины параметра гирации  $\gamma_0$ .

В расчетах полагалось, что световой пучок  $E^0(\xi)$  имеет гауссово распределение с апертурой  $W$ , линейную поляризацию с азимутом  $\varphi$  и падает под углом  $\theta_0$  на акустическую волну в кристалле  $\text{Bi}_{12}\text{SiO}_{20}$  в плоскости, образованной осью [001] и нормалью  $q$ . При этом нормальное АОВ в кристалле  $\text{Bi}_{12}\text{SiO}_{20}$  реализуется на продольной акустической волне с  $q = [111]$ , аномальное — на медленной сдвиговой волне с  $q = [111]$ , смешанное — на быстрой сдвиговой волне с  $q = [0,94; 0,34; 0]$  ( $M_a/M_n = 0,5$ ).

Результаты расчета приведены на рис. 2, 3 в параметрах, характеризующих АО-связь  $b^* = \max\{b_n, b_a\}$ , отношение расходимостей пучков  $E^0, U$  и геометрию АОВ  $g^* = (\sin(\varphi_0 + \varphi_1)/2 \cos \varphi_1)(L/W)$ , гиротропные свойства  $\rho^* = k_0 \gamma_0 L$ , через которые представляются все величины в (18).

Рис. 2. Зависимости эффективности дифракции  $\eta_d$  от АО-связи  $b^*$  при малой  $g^* = 0,1$  (а) и большой  $g^* = 3$  (б) расходимости падающего светового пучка для различных режимов АОВ:

$M_a = 0$  или  $M_n = 0, \rho^* < 0,1$  (1);  $M_a/M_n = 100, \rho^* = 1, \varphi = 30^\circ$  (2);  
 $M_a/M_n = 0,5, \rho^* = 0,5, \varphi = 0^\circ$  (3);  $M_a/M_n = 0,5, \rho^* = 5, \varphi = 0^\circ$  (4)



Отметим основные особенности влияния гиротропии на дифракционную эффективность АОВ. В условиях нормального АОВ при любых  $g^*$  (т. е. соотношениях расходимостей света и звука) зависимость  $\eta_d(b^*)$ , как следует из (18), не зависит от  $\rho^*$  и имеет известный периодически осциллирующий характер (кривые 1, рис. 2). Такой же вид имеет  $\eta_d(b^*)$  в условиях аномального АОВ только при  $\rho^* < 0,1$ .

С ростом  $\rho^*$  при аномальном АОВ наблюдается уменьшение дифракционной эффективности и периода осцилляций зависимости  $\eta_d(b^*)$  (кривые 2, рис. 2). Это обусловлено тем, что по крайней мере один из двух одновременно протекающих аномальных дифракционных процессов происходит в условиях фазовой расстройки  $\Delta K \approx \rho^*/L$ , приводящей к уменьшению длины когерентного взаимодействия световых пучков в области АОВ. В случае смешанного АОВ, как следует из сравнения кривых 1 и 3, 4 на рис. 2, в области  $b^* \leq 1$  наблюдается увеличение эффективности дифракции. Причем с ростом  $\rho^*$  происходит уменьшение скорости возрастания  $d\eta_d/db^*$  и локальных максимумов  $\eta_{dmax}(b^*)$ , а также увеличение локальных минимумов  $\eta_{dmin}(b^*)$ . Данные особенности связаны с тем, что формирование циркулярных составляющих дифрагированного пучка происходит за счет когерентного суммирования амплитудно-фазовых распределений парциальных световых волн, которые образуются при нормальном и аномальном процессах рассеяния и в общем случае различны.

Для другого крайнего случая АОВ, когда расходимость падающего света превышает расходимость звука ( $g^* > 1$ ), зависимости  $\eta_d(b^*)$  показаны на рис. 2, б. Видно, что отмеченные выше закономерности в поведении зависимостей  $\eta_d(b^*, \rho^*, M_{a,n})$  в целом сохраняются. Поэтому можно сделать практический вывод, что в режиме смешанного АОВ подбором параметров  $M_{a,n}, \rho^*$  в диапазоне значений АО-связи  $b^* < 1$  можно достичь существенного увеличения эффективности дифракции (например, как видно из сравнения кривых 1, 4 на рис. 2, б, в 2 раза).

Как показывает анализ (18), в ближней зоне в условиях нормального АОВ изменения в пространственной структуре  $I_1(\eta)$  с ростом  $b^*$  при любых  $g^*, \rho^*$  совпадают с аналогичными зависимостями при АОВ в негиротропных кубических кристаллах, распределение азимута  $\kappa_1(\eta)$  однородно, не зависит от АО-связи  $b^*$  и равно  $\kappa_1 = \varphi + \rho^*$ .

Более существенно влияние гиротропии на распределения поляризационных параметров  $\kappa_1, \rho_1$  и интенсивности  $I_1 = |E_1^+|^2 + |E_1^-|^2$  при аномальном и смешанном АОВ, пространственные зависимости которых для случая  $g^* = 3$  при разной АО-связи  $b^*$  представлены на рис. 3. Расчеты показывают, что с увеличением параметра  $\rho^*$  при аномальном АОВ распределение  $I_1(\eta)$  становится асимметричным (кривая 1 на рис. 3, а). Причем с ростом АО-связи  $b^*$  центральный максимум  $I_1(\eta)$ , изменяясь по амплитуде, смещается по апертурной координате  $\eta$ . Распределение приращения азимута  $\Delta\kappa_1(\eta) = \kappa_1 - \varphi$  для этого случая показано на рис. 3, б (кривая 1) и харак-

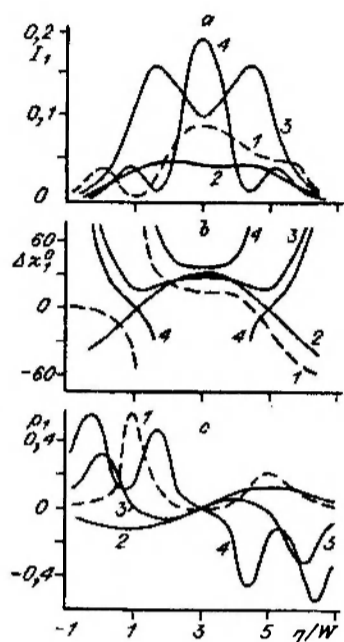


Рис. 3. Распределения интенсивности  $I_1$  (а), изменения азимута  $\Delta\kappa_1$  (б) и эллиптичности  $p_1$  (с) по апертурной координате  $\eta$  в 1-м дифракционном порядке при аномальном ( $M_a/M_n = 100, \rho^* = 1, \varphi = 30^\circ$ ) (кривые 1) и смешанном ( $M_a/M_n = 0,5, \rho^* = 5, \varphi = 0^\circ$ ) (кривые 2—4) режимах дифракции для различных значений АО-связи:  $b^* = 2,9$  (1), 0,5 (2), 2,9 (3), 5,7 (4) при  $g^* = 3$

теризуется существенной неоднородностью в пределах аперттуры пучка  $E_1$ , составляющей  $\approx 60^\circ$ . Следует отметить, что при  $\Delta K^* = 0$  в ближней зоне области АОВ изменения эллиптичности дифрагированного пучка при любых эффективностях и режимах дифракции практически не происходит. В условиях, когда начальная фазовая расстройка  $\Delta K'(\Delta\theta, f) \neq 0$ , например, вследствие изменения частоты ультразвука  $f$  (см. (б)), дифрагированный пучок становится эллиптически поляризованным (рис. 3, с, кривая 1) с изменяющимся по апертуре состоянием поляризации.

Для смешанного АОВ динамика изменения пространственного профиля  $I_1(\eta)$  в условиях сильной АО-связи ( $b^* \geq 0,5$ ) представлена кривыми 2—4 на рис. 3, а. Видно, что  $I_1(\eta)$  сохраняет в отличие от аномального АОВ симметричную структуру, которая с ростом АО-связи последовательно трансформируется в двух- и трехпиковую структуру. Причем брэгговский максимум является при  $\Delta K^* = 0$  линейно-поляризованным и имеет неоднородное распределение азимута  $\kappa_1$ , а его ширина с ростом  $b^*$  приближается к ширине падающего пучка  $E^0$  (кривая 4, рис. 3, а). Физической причиной этого, очевидно, является локализация области эффективного энергообмена нормальных дифракционных процессов, которая становится меньше длины области АОВ и приближается к длине когерентного взаимодействия аномальных процессов. Следует отметить, что неоднородность азимута  $\kappa_1$  минимальна в приосевой части пучка  $E_1$ , максимальна для периферийных участков и возрастает при увеличении АО-связи  $b^*$  (кривые 2—4, рис. 3, б).

В условиях фазовых расстроек зависимости распределений  $I_1(\eta)$ ,  $\Delta\kappa_1(\eta)$  от  $b^*$  при смешанном АОВ для  $\Delta K^* = 3$  практически совпадают с кривыми 2—4 на рис. 3, а, б, а зависимости эллиптичности  $p_1(\eta, b^*)$  показаны на рис. 3, с (кривые 2—4). Видно, что в отличие от подобных зависимостей для аномального АОВ (кривые 4 на рис. 3) распределения  $I_1$ ,  $\Delta\kappa_1$ ,  $p_1$  при изменении АО-связи сохраняют симметричную структуру. Причем поляризация в приосевой части пучка  $E_1$  остается практически линейной, а на периферийных участках, расположенных симметрично относительно центра распределения  $I_1(\eta)$ , является эллиптической, непрерывно изменяется по координате и характеризуется одинаковой ориентацией азимуты, степенью эллиптичности и различными направлениями обращения. Максимальные изменения  $\Delta\kappa_1$ ,  $p_1$  по апертуре дифрагированного пучка  $E_1$  в приведенных расчетных данных составляют соответственно  $\approx 60^\circ$  и  $\approx 0,5$ .

**Заключение.** Таким образом, в данной работе развита двумерная теория сильного АОВ волновых пучков в гиротропных кубических кристаллах. Получены аналитические решения векторно-матричных уравнений связанных волн в частных производных относительно пространственных распределений световых пучков на выходе и в дальней зоне области взаимодействия. Показано существование оптимальных по дифракционной эффективности режимов



АОВ. Исследована динамика изменения амплитудной и поляризационной структуры световых полей в ближней зоне при большой АО-связи. Представленные результаты могут быть полезны при оптимальном проектировании и разработке АО-устройств на основе гиротропных кубических кристаллов с минимальными искажениями амплитудной и поляризационной структур световых пучков при максимальной дифракционной эффективности.

#### СПИСОК ЛИТЕРАТУРЫ

1. Задорин А. С., Шарангович С. Н. Акустооптическое взаимодействие волновых пучков в кристаллах с циркулярным двупреломлением // Изв. вузов. Радиофизика.—1986.—29, № 10.
2. Задорин А. С., Шарангович С. Н. Дифракция света на звуковом пучке в кристаллах с циркулярным двупреломлением при экстремальной акустооптической связи // Изв. вузов. Радиофизика.—1988.—31, № 2.
3. Задорин А. С., Шарангович С. Н. Особенности модуляции света звуком в оптически активной среде // Автометрия.—1989.—№ 5.
4. Задорин А. С., Шарангович С. Н. Преобразование корреляционных и поляризационных параметров световых пучков при акустооптическом взаимодействии в гиротропной среде // Оптика и спектроскопия.—1991.—70, № 1.
5. Fachss F., Hesselink L. Holographic beam coupling in anisotropic photorefractive media // JOSA. A.—1987.—4, N 2.—P. 325.
6. Seymour R. S. Acoustooptic Bragg diffraction in anisotropic optically active media // Appl. Opt.—1990.—29, N 6.—P. 822.
7. Белый В. Н., Кулак Г. В. Дифракция света на ультразвуке в гиротропных кубических кристаллах в режиме Брэгга // Журн. прикл. спектр.—1991.—54, № 5.
8. Федоров Ф. И. Теория гиротропии.—Минск: Наука и техника, 1976.
9. Гантмахер Ф. А. Теория матриц.—М.: Наука, 1988.

*Поступила в редакцию 20 января 1993 г.*